

## 자기포화를 갖는 인덕션 모터의 적응 입출력 선형화제어

이민재, 황영호, \*김도우, 양해원  
한양대학교 메카트로닉스공학과, \*대덕대학 제어계측공학과  
전화 : 031-419-2313 / 핸드폰 : 011-358-5447

### Adaptive Input-Output Control of Induction Motor with Magnetic Saturation

Min Jae Lee, Young Ho Hwang, \*Do Woo Kim, Hai Won Yang  
Dept. of Mechatronics Engineering, Hanyang University  
\*Dept. of Electrical and Electronic Engineering, Daeduk College  
E-mail : lminj74@daum.net

#### Abstract

In this paper, we proposed that the problem of controlling induction motor with magnetic saturation is studied from an input-output feedback linearization with adaptive algorithm. The  $\pi$ -model of induction motor is considered. An adaptive input-output feedback linearizing controller is considered under the assumption of known motor parameters and unknown load torque. Simulation results are provided for illustration.

#### I. 서 론

기기 해석의 일반적인 가정은 자기회로가 선형적이라는 것이다[1]. 이 가정은 자속이 포화영역 상태에 들어서는 것을 고려하지 않는 것을 의미한다. 그러나 기기의 자속은 과도현상이 일어날 때 자계가 선형이라는 것을 보장하지 못한다. 더구나 부하토크를 해석할 때 자기포화 영역에서 무리없이 작동하는 것은 중요하다[2]. 예로 전기 차량을 들 수 있는데, 인덕션 모터는 일반적인 상태에서는 문제없이 운전 하지만, 급경사를 오를 때나 장애물이 생겼을 때 순간적으로 높은 토크를 발생시켜 극복하여야 한다. 이때, 자속이 포화 영역에 들어서기도 한다. 자계가 선형이라는 가정은 모터 dynamics의 포화자속 효과를 무시하는 직접적인 원인이 된다.

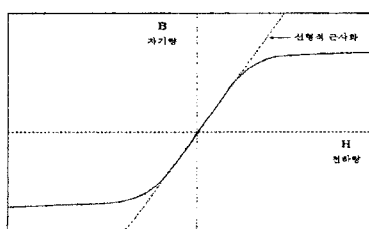


그림 1. B-H 포화곡선을 선형화시킨 그림

이러한 특성을 B-H 곡선으로(그림 1.) 표현할 수 있는데, B-H 곡선의 양끝 비선형적인 부분은 자기포화 영역으로서, 이 영역에 들어선 자속은 전류가 증가하여도 자속의 크기는 증가하지 않게 된다.

본 논문에서는  $T$  형 모델은 자속을 해석하기에 복잡한 구조이므로 회전자축 전류와 고정자축 전류로 양분하여 각각의 성분들의 계산을 쉽게 하기 위하여  $\pi$  형 모델로 변형시킨 시스템을 사용하여 자기포화를 갖는 인덕션 모터를 제어하였고, 기존에 고려하지 못했던 부하토크를 구하기 위하여 적응 알고리즘을 적용하였다. 제안한 방법이 유용함을 모의실험을 통해 검증하였다.

#### II. 인덕션 모터 모델

일반적인 기기 해석은 자기포화를 고려하지 않은 인덕션 모터의  $T$  형 모델에 근거한다. 하지만, 실제로는 자기포화를 갖는 인덕션 모터로 해석해야 과부하시의 전류를 제어할 수 있다. 이에 근거하여 인덕션 모터를  $\pi$  형 모델로 변형하고, 자속 성분으로 구성된 시스템 dynamics를 구한다. 자기포화를 갖는  $\pi$  형 인덕션 모터의 2상 전기적 등가식은 다음과 같다[3].

$$\begin{aligned} V_s &= R_s I_s + \Psi_s + J_2 \Psi_r, \\ 0 &= R_r I_r + \Psi_r - p \omega J_2 \Psi_s. \end{aligned} \quad (1)$$

여기서  $J = \begin{bmatrix} 0 & -1 \\ 1 & 0 \end{bmatrix}$  이다.

식 (1)에서  $V$ 는 상전원벡터,  $I$ 는 상전류벡터,  $R$ 은 상저항,  $\Psi$ 는 결합자속벡터이고, 각각의 아랫첨자  $s$ 는 고정자,  $r$ 는 회전자를 나타내며,  $p$  쌍극자 수,  $\omega$  회전자 속도이다. 여기서  $V, I, \Psi \in \mathbb{R}^2$ 이다. 일반적인  $T$  형 인덕션 모터를  $\pi$  형 모델로 변형하면 시스템 dynamics는 다음과 같다.

$$\begin{bmatrix} I_s \\ I_r \end{bmatrix} = \begin{bmatrix} (g_s(\|\Psi_s\|) + g_r)I_2 & -g_s I_2 \\ -g_r I_2 & (g_s(\|\Psi_s\|) + g_r)I_2 \end{bmatrix} \begin{bmatrix} \Psi_s \\ \Psi_r \end{bmatrix}. \quad (2)$$

여기서  $g_s$ ,  $g_r$  는 스칼라 포화 함수이고,  $g_l$  은  $\frac{1}{L}$  이다.

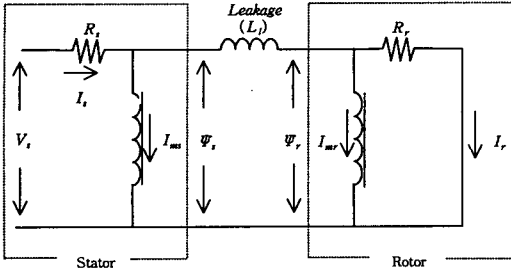


그림 2.  $\pi$  형 인덕션 모터

자기포화를 갖는  $\pi$  형 인덕션 모터는 다음과 같다.

$$\begin{aligned} \dot{x} &= f_1(x) + q f_2(x) + g_a(x) u_a + g_b(x) u_b, \\ y &= h(x). \end{aligned} \quad (3)$$

여기서  $x^T = [\omega \psi_a \psi_b \psi_{sa} \psi_{sb}]$  상태벡터,  
 $u^T = [0 0 0 u_a u_b]$  제어입력벡터,  
 $y^T = [y_1 y_2]$  출력벡터이다.

식(3)에서 성분은 다음과 같다.

$$f_1(x) = \begin{bmatrix} \mu(x_2 x_5 - x_3 x_4) - \frac{T_L}{J} \\ -R_r(g_r(x) + g_l)x_2 - p x_1 x_3 + R_r g_l x_4 \\ p x_1 x_2 - R_r(g_r(x) + g_l)x_3 + R_r g_l x_5 \\ R_s g_l x_2 - R_s(g_s(x) + g_l)x_4 \\ R_s g_l x_3 - R_s(g_s(x) + g_l)x_5 \end{bmatrix},$$

$$f_2(x) = \left[ -\frac{1}{J} \ 0 \ 0 \ 0 \ 0 \right]^T,$$

$$g_a(x) = [0 \ 0 \ 0 \ 1 \ 0]^T,$$

$$g_b(x) = [0 \ 0 \ 0 \ 0 \ 1]^T,$$

$$q = T_L - T_{LN}, \quad \mu = \frac{p g_l}{J}.$$

여기서  $T_L$  은 부하토크이고,  $T_{LN}$  은 부하토크의 nominal 값이다.

### III. 입출력 분리

입출력성분 분리를 위해 출력값의 Lie derivative를 구하고, Matrix  $D(x)$  는 다음과 같이 정의한다.

$$D(x) = \begin{bmatrix} L_{g_s} L_{f_1} y_1 & L_{g_s} L_{f_1} y_1 \\ L_{g_s} L_{f_1} y_2 & L_{g_s} L_{f_1} y_2 \\ -\mu x_3 & \mu x_2 \\ 2R_r g_l x_2 & 2R_r g_l x_3 \end{bmatrix}. \quad (5)$$

여기서  $y_1 = x_1$  이고,  $y_2 = x_2^2 + x_3^2$  이다.

(단,  $x \in R^5$ 이고  $x_2^2 + x_3^2 \neq 0$  이다.)

[4]에 따라 좌표 변환을 다음과 같이 정의한다.

$$\begin{aligned} \xi_1 &= y_1 = x_1, \\ \xi_2 &= L_{f_1} y_1 = \mu(x_2 x_5 - x_3 x_4) - \frac{T_L}{J}, \\ \xi_3 &= y_2 = x_2^2 + x_3^2, \\ \xi_4 &= L_{f_1} y_2 = -2R_r(g_r(x) + g_l)(x_2^2 + x_3^2) \\ &\quad + 2Rr g_l(x_2 x_4 + x_3 x_5), \\ \xi_5 &= \tan^{-1}\left(\frac{x_3}{x_2}\right). \end{aligned} \quad (6)$$

(단,  $\xi \in R^5$ :  $\xi_3 \neq 0$  이고  $-\frac{\pi}{2} \leq \xi_5 \leq \frac{\pi}{2}$  이다.)

입력항을 분리하기 위하여  $\xi$  의 도함수로 나타내면 다음과 같다.

$$\begin{aligned} \dot{\xi}_1 &= \dot{\xi}_2, \\ \dot{\xi}_3 &= \dot{\xi}_4, \\ \begin{bmatrix} \dot{\xi}_2 \\ \dot{\xi}_4 \end{bmatrix} &= \begin{bmatrix} L_{f_1} L_{f_1} y_1 \\ L_{f_1} L_{f_1} y_2 \end{bmatrix} + D(x) \begin{bmatrix} u_a \\ u_b \end{bmatrix}, \\ \dot{\xi}_5 &= p x_1 + R_r g_l(x_2 x_5 - x_3 x_4). \end{aligned} \quad (7)$$

식(7)의 성분은 다음과 같이 주어진다.

$$\begin{aligned} L_{f_1} L_{f_1} y_1 &= -\mu p x_1(x_2 x_4 + x_3 x_5) \\ &\quad -\mu R_r(g_r(x) + g_l)(x_2 x_5 - x_3 x_4) \\ &\quad -\mu R_s(g_s(x) + g_l)(x_2 x_4 + x_3 x_5). \end{aligned} \quad (8)$$

$$\begin{aligned} L_{f_1} L_{f_1} y_2 &= 2R_r^2 g_l^2(x_2^2 + x_3^2) \\ &\quad + 2pR_r g_l x_1(x_2 x_5 - x_3 x_4) \\ &\quad + 2R_r R_s(x_2^2 + x_3^2) g_l^2 \\ &\quad + 4R_r^2(x_2^2 + x_3^2)(g_r(x) + g_l)^2 \\ &\quad + 2R_r^2(x_2^2 + x_3^2)^{\frac{3}{2}}(g_r(x) + g_l) \frac{dg_r}{dz} |_{z=\sqrt{x_2^2+x_3^2}} \\ &\quad - 2R_r^2 g_l(x_2 x_4 + x_3 x_5) \sqrt{x_2^2 + x_3^2} \frac{dg_r}{dz} |_{z=\sqrt{x_2^2+x_3^2}} \\ &\quad - 2R_r^2 g_l(x_2 x_4 + x_3 x_5)(g_s(x) + g_l) \\ &\quad - 4R_r^2 g_l(x_2 x_4 + x_3 x_5)(g_r(x) + g_l). \end{aligned} \quad (9)$$

### IV. 적응 입출력 선형화 제어

III에서는 시스템 dynamics에서 입력항의 분리 과정을 나타냈다. 이 절에서는 미지의 파라미터를 추정하기 위하여 적응 알고리즘을 적용하였다. 적응 입출력 선형화 작업을 하기 위하여 적응 추적문제가 다음과 같은 기준 신호를 만족한다고 가정한다.

가정:  $\omega_{ref}(t) = c_1$  이고  $|\psi|_{ref}^2(t) \geq c_2 > 0$  이다.

(단, 모든  $t$  시간동안  $c_1, c_2$  는 실수)

미지의 파라미터  $q$  와 추정값  $\hat{q}(t)$ 의 오차를  $e_q$  라 정의한다.

$$e_q = q - \hat{q}(t). \quad (10)$$

$\xi$ 로 표현되었던 식을 입출력 분리하기 위하여 z 좌표 시스템으로 변환하면 다음과 같다.

$$\begin{aligned} z_1 &= \xi_1, \\ z_2 &= \xi_2 + q(t) L_{f_1} y_1, \\ z_3 &= \xi_3, \\ z_4 &= \xi_4. \end{aligned} \quad (11)$$

식(11)의 도함수는 다음과 같다.

$$\begin{aligned} \dot{z}_1 &= z_2 + e_q L_{f_1} y_1, \\ \dot{z}_2 &= L_{f_1} L_{f_1} y_1 + \frac{d\dot{q}}{dt} L_{f_1} y_1 + L_{g_1} L_{f_1} y_1 u_a + L_{g_2} L_{f_1} y_1 u_b, \\ \dot{z}_3 &= z_4, \\ \dot{z}_4 &= L_{f_1} L_{f_1} y_2 + L_{g_1} L_{f_1} y_2 u_a + L_{g_2} L_{f_1} y_2 u_b. \end{aligned} \quad (12)$$

적용 출력 선형화 계환의 입력값은 다음과 같다.

$$\begin{bmatrix} u_a \\ u_b \end{bmatrix} = D(x)^{-1} \begin{bmatrix} -L_{f_1} L_{f_1} y_1 + \frac{d\dot{q}}{dt} L_{f_1} y_1 + v_{a\ ref} \\ -L_{f_1} L_{f_1} y_2 + v_{b\ ref} \end{bmatrix}. \quad (13)$$

식(13)의 성분은 Lie derivative를 통하여 다음과 같이 얻을 수 있다.

$$L_{f_1} = -\frac{1}{f}. \quad (14)$$

기준신호를 추적하기 위하여  $v_{a\ ref}$  와  $v_{b\ ref}$  를 다음과으로 정의한다.

$$v_{a\ ref} = k_{11}(\omega_{ref} - \omega) + k_{12}(\dot{\omega}_{ref} - \dot{\omega}) + \ddot{\omega}_{ref}, \quad (15)$$

$$v_{b\ ref} = k_{21}(|\dot{\Psi}|_{ref}^2 - |\dot{\Psi}_r|^2) + k_{22}(|\dot{\Psi}|_{ref}^2 - |\dot{\Psi}_r|^2) + |\ddot{\Psi}|_{ref}^2.$$

이때  $k_{11}$ ,  $k_{12}$ ,  $k_{21}$ ,  $k_{22}$  값은 안정한 시스템이 되도록 적절히 설정한다.

기준 신호에 사용한 설계 파라미터를  $K$  로 나타내면 다음과 같다.

$$K = \text{block diag}(K_a, K_b)$$

$$= \begin{bmatrix} 0 & 1 & 0 & 0 \\ -k_{11} & -k_{12} & 0 & 0 \\ 0 & 0 & 0 & 1 \\ 0 & 0 & -k_{21} & -k_{22} \end{bmatrix}. \quad (16)$$

기준 모델은 다음과 같이 정의한다.

$$\begin{aligned} \begin{bmatrix} \dot{z}_{1M} \\ \dot{z}_{2M} \\ \dot{z}_{3M} \\ \dot{z}_{4M} \end{bmatrix} &= K_a \begin{bmatrix} z_{1M} \\ z_{2M} \\ z_{3M} \\ z_{4M} \end{bmatrix} + \begin{bmatrix} 0 \\ v_{a\ ref} \end{bmatrix}, \\ \begin{bmatrix} \dot{z}_{1M} \\ \dot{z}_{2M} \\ \dot{z}_{3M} \\ \dot{z}_{4M} \end{bmatrix} &= K_a \begin{bmatrix} z_{1M} \\ z_{2M} \\ z_{3M} \\ z_{4M} \end{bmatrix}. \end{aligned} \quad (17)$$

기준 모델 추적 에러는 다음과 같이 정의된다.

$$e = (z_1 - z_{1M}, z_2 - z_{2M}, z_3 - z_{3M}, z_4 - z_{4M})^T. \quad (18)$$

식(18)의 도함수는 다음과 같다.

$$\begin{aligned} \dot{e}_1 &= \dot{z}_1 - \dot{z}_{1M} = e_2 + e_q L_{f_1} y_1, \\ \dot{e}_2 &= \dot{z}_2 - \dot{z}_{2M} = -k_{11} e_1 - k_{12} e_2, \\ \dot{e}_3 &= \dot{z}_3 - \dot{z}_{3M} = e_4, \\ \dot{e}_4 &= \dot{z}_4 - \dot{z}_{4M} = -k_{21} e_3 - k_{22} e_4. \end{aligned} \quad (19)$$

(단,  $e_i(t) = 0$  이고,  $1 \leq t \leq 4$  이다.)

식(19)를 matrix로 표현하면 다음과 같다.

$$\begin{bmatrix} \dot{e}_1 \\ \dot{e}_2 \\ \dot{e}_3 \\ \dot{e}_4 \end{bmatrix} = K \begin{bmatrix} e_1 \\ e_2 \\ e_3 \\ e_4 \end{bmatrix} + e_q \begin{bmatrix} L_{f_1} y_1 \\ 0 \\ 0 \\ 0 \end{bmatrix}. \quad (20)$$

여기서  $W^T = [L_{f_1} y_1 \ 0 \ 0 \ 0]$  이다.

파라미터의 추정치를 구하기 위해 Lyapunov 함수를 사용하여 적응최을 설계한다.  $S$  와  $Q$  matrix는 다음과 같다.

$$\begin{aligned} S &= \text{block diag}(S_a, S_b), \\ Q &= \text{block diag}(Q_a, Q_b). \end{aligned} \quad (21)$$

Positive definite symmetric matrix  $Q$ 에 대해서, 다음의 Lyapunov 방정식을 만족하는 positive definite symmetric matrix 가 되도록  $S$  를 구한다.

$$K^T S + S K = -Q, \quad (22)$$

$$S = \begin{bmatrix} S_{11} & S_{12} & 0 & 0 \\ S_{21} & S_{22} & 0 & 0 \\ 0 & 0 & S_{33} & S_{34} \\ 0 & 0 & S_{43} & S_{44} \end{bmatrix}. \quad (23)$$

적응최을 정하기 위하여 다음과 같은 Lyapunov 함수 후보를 정의한다.

$$V = e^T S e + e_q^T \Gamma e_q. \quad (24)$$

여기서  $\Gamma$  는 symmetric matrix이다.

식(24)을 미분하면 다음과 같다.

$$\begin{aligned} \frac{dV}{dt} &= e^T (K^T S + S K) e \\ &+ 2 e_q^T \left[ W^T S e + \Gamma \frac{de_q}{dt} \right]. \end{aligned} \quad (25)$$

식(25)가  $K^T S + S K$  로 인하여 항상 0보다 작은 합수로 구성되어지기 위해 다음과 같이 선택한다.

$$\frac{de_q}{dt} = -\Gamma^{-1} W^T S e. \quad (26)$$

식(26)과 식(10)을 통하여 다음식을 얻게 된다.

$$\frac{d\dot{q}}{dt} = \Gamma^{-1} W^T S e. \quad (27)$$

식(27)을 사용하여 파라미터를 추정하게 된다.

$$\frac{dV}{dt} = -e^T Q e \leq 0. \quad (28)$$

식(28)를 통하여 안정함을 알 수 있다.

## V. 모의 실험

제안된 적용 출력 선형화제어를 위하여 인덕션 모터의 자기포화된  $\pi$  형 모델을 사용하였다. 제어법칙의 효용성을 나타내기 위하여 표 1. 과 같이 인덕션 모터의 특성값을 정하고, 컴퓨터 모의실험을 하였다.

표 1. 인덕션 모터의 특성값

고정자 저항	$R_s = 8$	회전자 저항	$R_r = 6$
누설 인덕턴스	$L_i = 0.062H$	관성 모멘트	$J = 0.06$
쌍극자 수	$p = 2$	부하토크	$T_b = 1$
포화함수			$\ g_r\  = 0.5495 \times \frac{(e^{2\ \Psi_r\ } - 1)}{(e^{2\ \Psi_r\ } + 1)}$ $\ g_b\  = 0.5495 \times \frac{(e^{2\ \Psi_b\ } - 1)}{(e^{2\ \Psi_b\ } + 1)}$

실제 회전자 자속의 초기조건은 미지의 상태값으로 관측자를 통하여 추정한다. 그러므로, 관측자의 회전자 속의 초기조건을  $\Psi_{ra}(0) = \Psi_{rb}(0) = 0.1$ 로 정한다. 그리고 다른 상태변수들의 초기조건은 0으로 설정한다. 본 논문에서는 제어기의 이득값을 다음과 같이 하였다.

$$k_{11} = 900, k_{12} = 60, k_{21} = 60, k_{22} = 900, \Gamma = 2.5$$

기준신호로  $\omega_{ref}(t) = 20 + 10 \sin(4t)$  와  $|\Psi|_{ref} = 0.8 + 0.2 \sin\left(\frac{t}{2}\right)$ 를 사용하였을 때

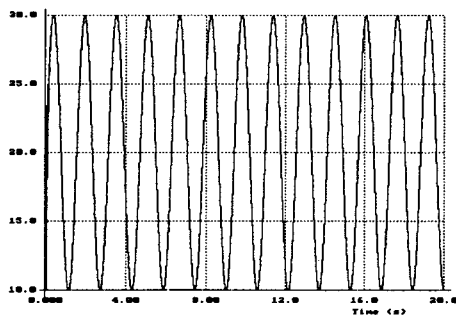


그림 3. 기준신호  $\omega_{ref}(t)$  와 적응제어에 의한  $\omega(t)$

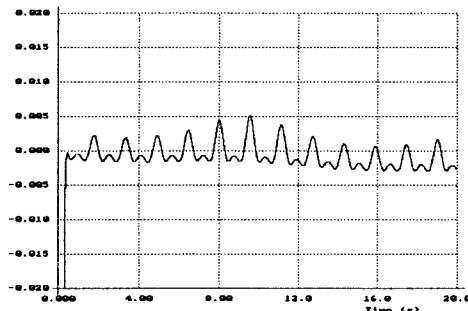


그림 4. 적응 제어에 의한  $\omega(t)$ 의 추적 오차

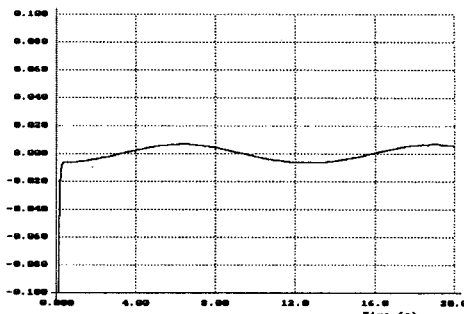


그림 5. 적응 제어에 의한  $\Psi(t)$ 의 추적 오차

## VI. 결 론

본 논문에서는 자기포화를 갖는 인덕션 모터를 적용 입출력 선형화 기술을 사용하여 제어하였다. 제안된 모델은 자기적으로 비선형적인  $\pi$  형 모델이다. 일반적으로 사용된  $T$  형 모델의 회전자와 고정자축 자속을 상태 성분으로 하여 포화자속 성분을 계산할 수 있는 장점을 이용하였으며, 입출력 선형화 기술에서 추정하지 못한 부하토크를 적용제어 기법을 사용하여 추정하도록 하였다. 적용 알고리즘이 자기포화를 갖는 인덕션 모터에 적용되어 질 수 있음을 모의실험을 통하여 확인할 수 있었다. 그러나 실제 모터를 제어하는데 제한적인 조건이 많이 있어 여러 파라미터를 추정하는 연구가 계속 되어야 할 것이다.

## 참 고 문 헌

- [1] W. Leonard, Control of Electric Drives. Berlin : Springer-Verlag, 1985.
- [2] C. R. Sullivan, and S. R. Sanders, "Models for induction machines with magnetic saturation of the main flux path", IEEE Trans. Ind. Applicat., vol. 31, no. 4, pp. 907-917, 1995.
- [3] H. A. Abdel Fattah, "Input-Output Linearization of Induction Motors with Magnetic Saturation", Proceedings of the ACC, Chicago, p. 600~604, June 2000.
- [4] A. Isidori, Nonlinear Control Systems. Heidelberg : Springer-Verlag, 3rd ed., 1996.